

Л и т е р а т у р а

- [1] Зарослов Д.Ю., Карлов Н.В. и др. - Изв. АН СССР, сер. физ., 1979, т. 43, № 2, с. 230-236.
- [2] Баранов В.Ю., Борисов В.М. и др. - Препринт № 347217, Институт атомной энергии, М., 1981 г.
- [3] Дашук П.Н., Дементьев В.А. и др. - Письма в ЖТФ, 1983, т. 9, вып. 2, с. 89-94.
- [4] Баранов В.Ю., Борисов В.М., Вышкайло Ф.И., Христофоров О.Б. - ТВТ, 1984, т. 22, с. 661.
- [5] Горковский В.П., Карлов Н.В. и др. - Квантовая электроника, 1984, т. 11, № 9, с. 1867-1869.
- [6] Борисов В.М., Винокурдов А.Ю., Кирюхин Ю.Б., Морозов А.Н. - Квантовая электроника, 1987, т. 14, с. 2168-2174.
- [7] Дашук П.Н., Кулаков С.Л. - Письма в ЖТФ, 1981, т. 7, в. 21, с. 1307-1311.
- [8] Антонов В.С., Князев И.Н., Мовшев В.Г. - Квантовая электроника, 1974, т. 1, № 2, с. 433-435.
- [9] Брънзалов П.П., Зикрин Б.О., Карлов Н.В. и др. - Письма в ЖТФ, 1988, т. 14, в. 10, с. 946-949.

Институт общей физики
АН СССР, Москва

Поступило в Редакцию
27 июля 1988 г.

Письма в ЖТФ, том 14, вып. 20 26 октября 1988 г.

К ОЦЕНКЕ ПАРАМЕТРОВ ПЛАЗМЫ ТЕРМОЯДЕРНОГО РЕАКТОРА НА D^3He ТОПЛИВЕ

И.Н. Г о ч о в и н, В.В. К о с т е н к о,
В.И. Х в е с ю к, Н.В. Ш а б р о в

Современная программа управляемого термоядерного синтеза ориентируется на создание реакторов, использующих в качестве топлива прежде всего равнокомпонентную смесьдейтерия с тритием, так как реакция



протекает с наибольшей скоростью и при наименее высокой температуре среди всех реакций термоядерного синтеза.

Однако с точки зрения практического использования реакция (1) обладает двумя существенными недостатками. Топливо - тритий - радиоактивно и в нем рождаются нейтроны с высокой энергией. Образующиеся нейтроны будут приводить к сильным радиационным повреждениям первой стенки и прилегающих к ней конструкций

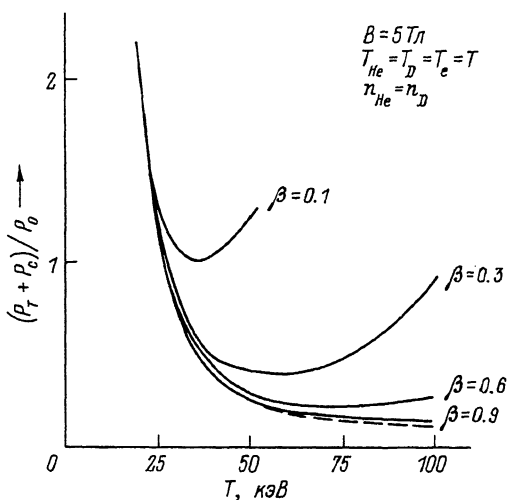
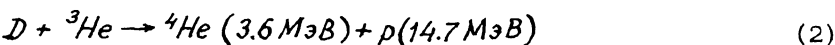


Рис.1. Зависимость от температуры отношения суммы мощностей тормозного и циклотронного излучений к мощности термоядерной D^3He реакции. Видно, что при $\beta \lesssim 0.1$ зажигание реакции невозможно.

бланкета и наводить в них высокую радиоактивность. В результате, по оценкам [1, 2], суммарная радиоактивность ядерного и термоядерного $D\bar{T}$ реакторов оказывается примерно одинаковой, хотя, правда, биологическая опасность термоядерного реактора на один-два порядка ниже, чем ядерного.

Большой интерес представляет анализ возможности использования в качестве топлива смеси дейтерия с гелием-3. Компоненты соответствующей реакции



не содержат ни радиоактивных элементов, ни нейтронов.

Детальный анализ использования этого топлива только начался, поскольку на Земле отсутствуют промышленные запасы 3He . Недавно показано [3, 4], что развитие космонавтики к началу будущего века обеспечит техническую возможность добычи 3He на Луне, где его запасы значительны ($\sim 10^9$ кг) и их хватило бы для обеспечения растущего производства электроэнергии всей Земли примерно на тысячу лет.

В данной заметке представлены некоторые общие оценки параметров термоядерного реактора с магнитным удержанием плазмы использующего D^3He топливо.

1. Температура плазмы.

Пользуясь данными по скорости синтеза D^3He [5, 6], получаем, что максимальное энерговыделение при заданных величинах $\beta =$

$= 2 \mu_0 P / \beta^2$ и магнитной индукции B (ρ - газокинетическое давление плазмы) лежит при температуре 50 кэВ. Это приводит к увеличенным потерям энергии из плазмы с циклотронным излучением и теплопроводностью по сравнению с $D-T$ реакцией, для которой максимум энерговыделения получается при температуре 15 кэВ. При одинаковых β и B максимальная мощность, выделяемая в $D-T$ плазме, примерно в 50 раз больше, чем в D^3He плазме.

2. Допустимые значения β .

Удобной характеристикой термоядерной реакции является отношение суммы мощностей тормозного P_T и циклотронного P_C излучений к мощности термоядерной реакции P_o

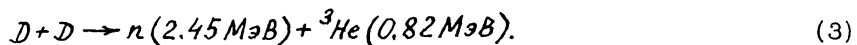
$$\xi(T) = \frac{P_T + P_C}{P_o}.$$

Результаты расчета $\xi(T)$ для D^3He реакции при $B = 5$ Тл и при разных β приведены на рис. 1. Видно, что зажигание реакции ($\xi < 1$) возможно только при относительно больших значениях β , а именно $\beta > \beta^* = 0.12$. Значение β^* возрастает при учете теплопроводности, потеря энергии с частицами, покидающими плазму, а также при увеличении K_n - отношения плотности гелия-3 к плотности дейтерия в топливе.

Как известно, к настоящему времени столь большие значения β достигнуты лишь в экспериментах с адиабатическими магнитными ловушками. Поэтому при оценках баланса энергии мы использовали формулы для удержания плазмы в амбиополярных системах.

3. Нейтронные потоки.

Несмотря на отсутствие среди продуктов реакции (2) нейтронов, они образуются в сопутствующей реакции $D-D$:



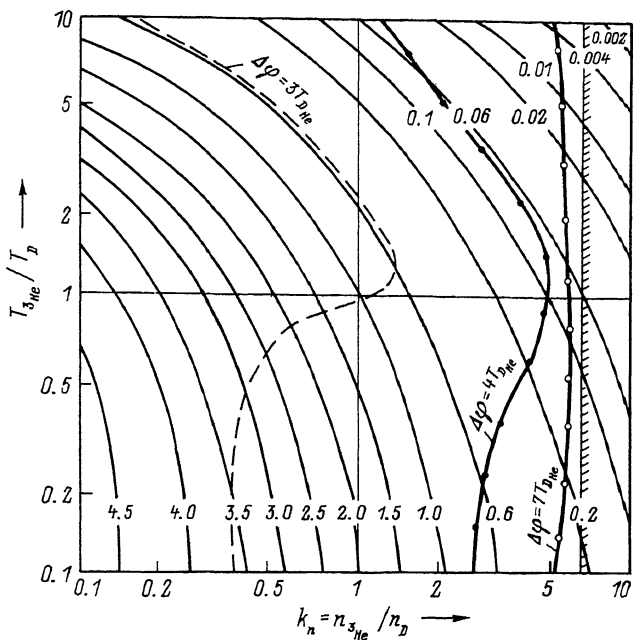
Скорость реакции (3) в 6-7 раз меньше, чем (2) в диапазоне температур 60-80 кэВ, характерных для D^3He плазмы.

Мы провели расчеты мощностей, выделяющихся с нейtronами, рассмотрели возможности минимизации этих мощностей. При этом учитывали также мощности, выделяющиеся с нейtronами, возникающими в результате взаимодействия дейтерия с тритием, образующимся в реакции



Расчеты нейтронных мощностей дали следующие результаты. Сравнение пятидесятипроцентных смесей $D-T$ и D^3He показывает, что при одинаковой выделяемой мощности P_o отношение нейтронных мощностей

$$\frac{P_H^{D^3He}}{(50 \text{ кэВ})} / \frac{P_H^{DT}}{(10 \text{ кэВ})} = 0.025-0.05.$$



$$T_e = T_{D-\text{He}} = 50 \text{ кэВ}$$

$$\beta = 0.5$$

$$B = 5 \text{ Тл}$$

Рис. 2. Линии постоянной мощности, уносимой нейтронами, а также границы, правее которых зажигание невозможно. На линии $\dots\dots\dots$ мощность термоядерной реакции P_o равна мощности излучения $P_T + P_C$. Остальные линии соответствуют различным высотам 4φ амбиполярных барьера.

При фиксированных β и B

$$\frac{P_H^{D^3He}}{P_H^{DT}}(50 \text{ кэВ}) / P_H^{DT}(10 \text{ кэВ}) = 4 \cdot 10^{-4}.$$

В принципе возможны два пути дальнейшего снижения нейтронных потоков: а) увеличением отношения плотностей $k_n = n_{^3He}/n_D$; б) увеличением отношения температур $K_T = T_{^3He}/T_D$. Уровень нейтронных потоков мы характеризуем безразмерной величиной

$$\bar{\rho}_H^{D^3He}(K_n, K_T) = \frac{P_H^{D^3He}(K_n, K_T)}{P_H^{D^3He}(1,1)}. \quad (5)$$

На рис. 2 в плоскости K_n , K_T представлены изолинии поверхности (5). Расчеты выполнены для постоянных значений B , p , β и параметра $T_{D-\text{He}} = (A_{He}T_D + A_D T_{He})/(A_{He} + A_D)$, $T_{D-\text{He}} = T_e = 50 \text{ кэВ}$, где A_D и A_{He} массовые числа ядер D и He [7].

На том же рисунке представлены кривые, ограничивающие области горения реакции в D^3He плазме. Учтены тормозное и циклотронное излучения, а также унос энергии с частицами P_t через амбиполярные барьеры высотой $\Delta\varphi$ в амбиполярном реакторе в предположении отсутствия потерь поперек магнитного поля. Параметром являлось отношение удерживающего амбиполярного потенциала $\Delta\varphi$ и T_{DHe} . Снижение $\bar{P}_H D^3He (K_n, K_T)$ в 100 раз достигается при $K_n = 5$, $K_T = 6$. Это еще соответствует условию горения реакции. На поверхности $\bar{P}_H (K_n, K_T)$ была также найдена линия, где функция $P_H / (P_0 - P_T - P_C - P_t)$ достигает минимума. Например, для $K_T = 1$ минимум достигается при $K_n = 3$.

Таким образом, есть возможность существенного снижения нейтронных потоков в термоядерных реакторах при переходе от DT к D^3He топливу. Для установления более реалистических пределов следует выполнить полные и строгие исследования плазмофизических процессов в D^3He реакторе.

4. Параметр Лаусона $n\tau_E$.

Как видно из рис. 2, потоки нейтронов тем меньше, чем больше отношение K_n плотности гелия-3 к плотности дейтерия. Однако расчеты показывают, что с ростом K_n кривые Лаусона поднимаются все выше, т.е. необходимо все более совершенное удержание плазмы. Если под n подразумевать сумму плотностей электронов и ионов, то зависимость минимальных значений $n\tau_E$ на кривых Лаусона для разных K_n от K_n следующая:

K_n	1	3	6
$n\tau_E$	$1.6 \cdot 10^{15}$	$3.1 \cdot 10^{15}$	$8.8 \cdot 10^{15} \text{ см}^{-3} \text{ с}$

Отметим, что минимальные значения $n\tau_E$ лежат для D^3He при температуре около 100 кэВ, в то время как минимальное значение $n\tau_E$, равное для DT реакции $3 \cdot 10^{14} \text{ см}^{-3} \text{ с}$, лежит при температуре 25 кэВ. Таким образом, для зажигания D^3He топлива необходимо существенно лучшее магнитное удержание, чем для DT топлива. Но при $K_n = 1$, как показывают расчеты, зажигание и горение в D^3He плазме возможно при $T_i = 40$ кэВ и $n\tau_E = 4 \cdot 10^{15} \text{ см}^{-3} \text{ с}$, что по температуре совсем близко к $T_i = 30$ кэВ, достигнутой в tokamake TFR.

Л и т е р а т у р а

- [1] Holdren J.P. et al. Report of the Senior Committee on Environmental, Safety and Economic Aspects of Magnetic Fusion Energy. UCRL-5376, 1986, p. 1-102.
- [2] Hafele W., Holdren J.P., Kessler G., Kulcinski G.L. Fusion and Fast Breeder Reactors. International Institute for Applied System Analysis. A-2361, Luxenburg, Austria, Nov. 1976.

- [3] Wittenberg L.J., Santarius J.F., Kulcinski G.L. - Fusion Technology, 1986, v. 10, N 2, p. 167-171.
- [4] Kulcinski G.L., Schmitt H.H. The Moon: an abundant source of clean and safe fusion fuel for the 21-st century. 11-th international scientific forum on fueling the 21st century. 1987, UWEDM-730.
- [5] Козлов Б.Н. - Атомная энергия, 1962, т. 12, в. 3. с. 238-240.
- [6] Гуськов С.Ю., Ильин Д.В., Левковский А.А. и др. - Атомная энергия, 1987, т. 63. в. 4, с. 252-255.
- [7] Голант В.Е., Жилинский А.Н., Сахаров И.Е. Основы физики плазмы - М.: Атомиздат, 1977, 384 с.
- [8] Пастухов В.П. Классические потери плазмы в открытых адиабатических ловушках в кн.: Вопросы теории плазмы. - М.: Энергоатомиздат, 1984, вып. 13, с. 160-204.

Поступило в Редакцию
2 августа 1988 г.

Письма в ЖТФ, том 14, вып. 20

26 октября 1988 г.

ВЛИЯНИЕ ЛАЗЕРНОЙ ИСКРЫ НА УСТОЙЧИВОСТЬ НЕСАМОСТОЯТЕЛЬНОГО РАЗРЯДА

Д.А. Мазалов, А.П. Напартович,
А.Ф. Паль

Для выяснения природы шнурования объемного разряда при повышенных давлениях представляет интерес исследовать реакцию такого разряда на внешние возмущения проводимости, плотности или потенциала. Так, в [1], объемные возмущения проводимости в плазменном столбе стационарного самостоятельного разряда создавались вспомогательным импульсным разрядом между головками подвижного зонда. Аналогичный способ применялся и в несамостоятельном разряде [2]. Удобно использовать для этой цели лазерный пробой, вызванный сфокусированным в разрядном промежутке импульсным излучением. При этом легко изменяется локализация искры и отсутствуют неконтролируемые возмущения от присутствия в плазме самих зондов.

Мощный импульс излучения за короткое время (~ 20 нс) создает шар плазмы с концентрацией, заметно превышающей характерную для несамостоятельного разряда ($\sim 10^{12}$ см $^{-3}$). Кроме того, лазерная искра сильно разогревает газ, что приводит к формированию ударной волны и разлету газа и плазмы [3].